

КАЗАХСКИЙ НАЦИОНАЛЬНЫЙ УНИВЕРСИТЕТ
ИМЕНИ АЛЬ-ФАРАБИ
ФИЗИКО-ТЕХНИЧЕСКИЙ ФАКУЛЬТЕТ
НАЦИОНАЛЬНАЯ НАНОТЕХНОЛОГИЧЕСКАЯ ЛАБОРАТОРИЯ
ОТКРЫТОГО ТИПА
НАУЧНО-ИССЛЕДОВАТЕЛЬСКИЙ ИНСТИТУТ
ЭКСПЕРИМЕНТАЛЬНОЙ И ТЕОРЕТИЧЕСКОЙ ФИЗИКИ

Сборник трудов
V международной научной конференции
**СОВРЕМЕННЫЕ ПРОБЛЕМЫ ФИЗИКИ
КОНДЕНСИРОВАННОГО СОСТОЯНИЯ,
НАНОТЕХНОЛОГИИ И НАНОМАТЕРИАЛОВ**
(Сарсембиноуские чтения)

17-18 мая 2018



Алматы 2018

КАЗАХСКИЙ НАЦИОНАЛЬНЫЙ УНИВЕРСИТЕТ ИМ. АЛЬ-ФАРАБИ

Физико-технический факультет

Национальная нанотехнологическая лаборатория открытого типа (ННЛОТ)

**Научно-исследовательский институт экспериментальной и теоретической
физики (НИИЭТФ)**

Сборник трудов

V Международной научной конференции

**СОВРЕМЕННЫЕ ПРОБЛЕМЫ ФИЗИКИ КОНДЕНСИРОВАННОГО
СОСТОЯНИЯ, НАНОТЕХНОЛОГИЙ И НАНОМАТЕРИАЛОВ**

(Сарсембиноуские чтения)

Aлматы, 17-18 мая 2018 года

Алматы
«Қазақ университеті»
2018

ПОЛУЧЕНИЕ КРЕМНИЕВЫХ НАНОНИТЕЙ МЕТОДОМ МЕТАЛЛ-СТИМУЛИРОВАННОГО ХИМИЧЕСКОГО ТРАВЛЕНИЯ ПРИ РАЗЛИЧНОЙ КОНЦЕНТРАЦИИ ПЛАВИКОВОЙ КИСЛОТЫ

Д. Ермухамед¹, Г.К. Мусабек¹, Г.Т. Шокобаева¹, Г.А. Амирханова², В.А. Сиваков³

¹Национальная нанотехнологическая лаборатория открытого типа, Казахский Нац-

университет имени аль-Фараби, Алматы, Казахстан

²Институт информационных и вычислительных технологий НАН РК, Алматы, Ка-

³Лейбниц институт фотонных технологий, Йена, Германия

Аннотация

В работе представлены результаты экспериментальных исследований влияния концентрации плавиковой кислоты в травящем растворе при металл-стимулированном химическом травлении на структурные свойства поверхности пластины монокристаллического кремния на структурные свойства кремниевых нанонитей. Структурные свойства кремниевых нанонитей исследованы методом Raman спектроскопии. Показано, скорость роста нанонитей линейно зависит от концентрации плавиковой кислоты в травящем растворе. Из исследований спектров комбинационного рассеяния света следует, что интенсивность света для образцов КНН серий А, В, С возрастает с увеличением концентрации травящего раствора.

Введение

Одним из перспективных, новых полупроводниковых наноматериалов являются кремниевые нанонити (КНН). Широкий диапазон оптической адсорбции, высокая интенсивность света, высокая подвижность электронов делают КНН незаменимым материалом для создания различных приборов [1, 2], полевых транзисторов [3, 4], интегрированных схем [5]. В настоящий момент времени для получения КНН относительно используемого подхода можно разделить на два: метод «вверх-вниз» и «снизу-вверх». Методы с подходом «сверху-вниз» зарекомендовали себя как более простые в исполнении и не дорогие, например, такие как, лазерная абляция [6, 7], химическое травление [8-10], методы роста из растворов [10], по сравнению с методами с подходом «снизу-вверх», требуют больших затрат, например, химическое осаждение из паровой фазы [11-13], гравировка [14, 15], лучевая эпитаксия [14, 15], термическое испарение [16-18].

Метод металл-стимулированного химического травления (MCXT) относится к методам реализации из растворов «сверху-вниз» и является одним из наиболее широких в мире, поскольку он достаточно прост в исполнении и не требует применения дорогостоящего оборудования [19]. Обычно рост КНН методом MCXT выполняется в три этапа. На первом этапе процесса роста наночастицы благородного металла (часто используются серебро, золото) осаждаются на поверхность полупроводниковой подложки из раствора. Частички металла выполняют роль катализатора окислительно-восстановительных реакций, приводящих к формированию наноструктур. В ряде работ [20, 21] было показано, что наиболее оптимальным катализатором для роста КНН являются серебро. На втором этапе процесса осуществляется травление наночастиц из раствора перекиси водорода и плавиковой кислоты сверху-вниз в растворе, содержащем перекись водорода и плавиковую кислоту. На заключительном этапе наночастицы регулируются в зависимости от времени травления. На поверхности полученной наноструктуры металлические наночастицы выдерживаются в концентрированной азотной кислоте. Хотя исследование физических свойств и их практическому применению посвящено достаточно большое количество статей, существует много открытых вопросов, требующих детального исследования. В частности, неизвестны параметры получения наноструктур на их физические свойства. В частности, неизвестно, как влияет концентрация H_2O_2 в травящем растворе на морфологию поверхности и физические свойства нанонитей. В настоящей статье исследовано влияние состава травящего раствора на оптические свойства КНН.

Экспериментальная часть

Опытные образцы КНН были получены методом MCXT из монокристаллических пластин p-типа проводимости, с кристаллографической ориентацией поверхности (100) и удельным сопротивлением 1-10 Ом²·см. Перед началом травления кремниевые подложки очищались в ультразвуковой ванне в растворах

в течение 2 минут. Затем слой естественного оксида удалялся путем выдерживания в 2% растворе плавиковой кислоты в течение 2 минут. Далее следовал сам процесс формирования нанонитей.

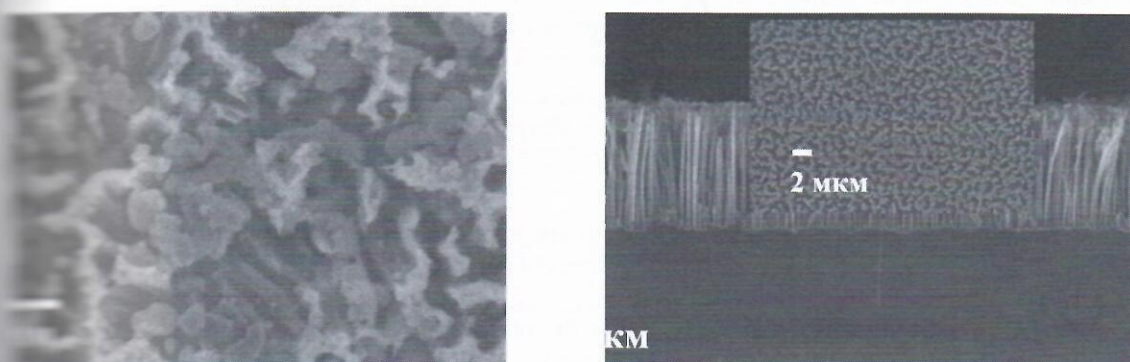
В качестве металла-катализатора использовалось серебро. На первом этапе процесса на поверхность кремниевых подложек осаждались наночастицы серебра из раствора 5M HF:0.02M AgNO₃ в соотношении (1:1) в течение 30 секунд. На втором этапе MCXT для роста нанонитей использовался раствор 5M HF:30% H₂O₂ взятый в трех разных соотношениях, а именно (10:1), (20:1) и (30:1). Серии образцов, полученных при этих концентрациях HF, были обозначены как образцы серии А, серии В и серии С соответственно. Время травления изменялось от 1 до 60 минут. На последнем этапе процесса наночастицы серебра удалялись путем выдерживания в фиксированной азотной кислоте в течение 5 минут. Готовые образцы промывались в дистilled воде и высушивались в струе азота.

Морфология и структурные свойства полученных методом MCXT структур КНН были исследованы с помощью сканирующего электронного микроскопа Carl Zeiss Ultra 55 FE-SEM, а также комбинационного рассеяния образцов измерялись на установке NTegra Spectra. Все эксперименты и измерения проводились на воздухе при комнатной температуре.

Результаты и обсуждения

На рисунках 1 б, в, г приведены СЭМ снимки поверхностей и бокового скола нанонитей серий А, В и С, полученных при фиксированном времени травления - 15 минут, а также СЭМ изображение поверхности кремниевой пластины, покрытой частицами серебра - катализатора реакции растворения (1a). Из рисунка 1а видно, что наночастицы серебра однородной, плотной пленкой покрывают поверхность подложки монокристаллического кремния. Морфология и размеры получившихся наночастиц серебра зависят от времени их осаждения на первом этапе MCXT. Частицы серебра играют важную роль в осуществлении процесса MCXT, поскольку участвуют в катодной реакции, тем самым снижая электрохимический барьер реакции. Вертикальное расположение КНН обуславливается продольным продвижением серебряных частиц с поверхности в кремниевой подложки «сверху-вниз», при одновременном растворении кремния вблизи частиц. Размеры наночастиц серебра, осажденных на поверхность кремниевой подложки при комнатной температуре в течение 30 секунд варьируются от 10 нм до 100 нм, что позволяет в дальнейших пор между КНН. Таким образом, исследуемые структуры КНН также относятся к микропористой структуре.

На рисункам 1 б, в, г можно проследить изменение длины КНН в зависимости от концентрации H₂O₂ в травящем растворе. Например, при фиксированном времени травления длина КНН серий А, В и С составила 5,239 мкм, 6,9 и 6,1 мкм соответственно, что указывает на то, что H₂O₂ в травящем электролите приводит сначала к медленному увеличению, а потом к максимальной постоянной скорости реакции.



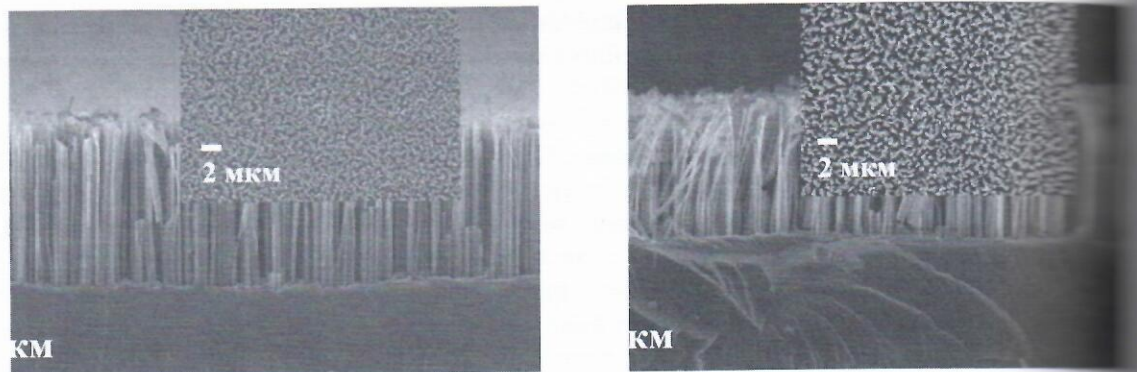


Рисунок 1 - СЭМ снимки поверхности кремниевой пластины, покрытой частицами серебра (а), и скола КНН (б, в, г), полученных при времени травления 15 минут и различной концентрации (10:1) раствора плавиковой кислоты с перекисью водорода

На рисунке 2 показаны графики зависимости длины КНН от времени травления при различных концентрациях HF. Видно, что длина нанонитей линейно растет с увеличением концентрации раствора плавиковой кислоты для всех серий образцов. Также были рассчитаны значения скорости роста КНН. Скорость роста нанонитей для серии А – 0,07-0,4 мкм/мин, для серии В – соответственно 0,3-0,5 мкм/мин и 0,4-0,8 мкм/мин. Из данных значений можно отметить, что скорость роста КНН возрастает с ростом концентрации раствора плавиковой кислоты.

На рисунке 3 а, б, в показаны спектры КРС образцов серий А, В и С, полученных при времени травления 1- 60 минут. Из представленных графиков следует, что с ростом длины КНН наблюдается все большее смещение основного пика кремния в длинноволновую область, что говорит о формировании новых химических связей на поверхности структуры, обусловленных пассивацией. Также можно отметить рост полуширины основного пика с ростом толщины слоя КНН, что указывает на образование менее упорядоченной фазы в структуре КНН.

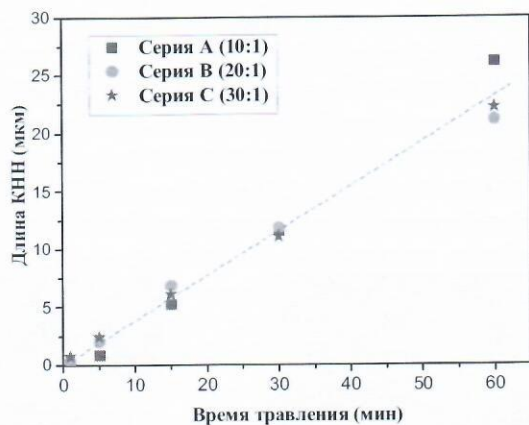
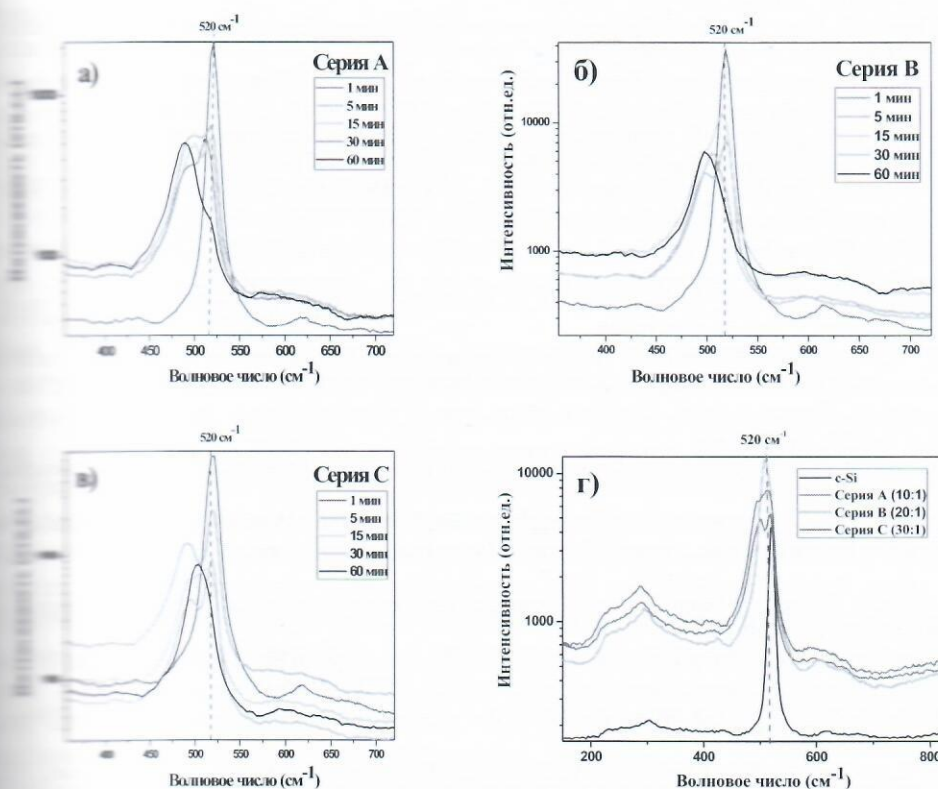


Рисунок 2 - Зависимость длины КНН от времени травления при различных концентрациях плавиковой кислоты в травящем растворе

На рисунке 3г представлены спектры КРС образцов КНН из серий А, В и С, полученные в фиксированном времени травления - 15 минут. Видно, что рост концентрации HF в травящем растворе приводит к более интенсивному растворению материала подложки и к большему сдвигу основного пика КРС что, в свою очередь, обусловливает протекание менее контролируемого процесса порообразования и образования более пористых КНН.

Таким образом, при высокой концентрации плавиковой кислоты в травящем растворе начинается растворение поверхности КНН, что приближает материал к менее упорядоченной фазе. Для всех трех образцов наблюдается сдвиг основного пика КРС кремния с 520 cm^{-1} , что в свою очередь говорит о пассивации поверхности наноструктур в процессе травления. В среднем этот процесс происходит с примерно одинаковой скоростью для всех

и плавиковой кислоты. Также из приведенных графиков зависимости можно заметить, что интенсивность комбинационного рассеяния света для образцов КНН серий А, В, С возрастает с увеличением концентрации травящего раствора. Этот рост эффективности процессов комбинационного рассеяния света может быть объяснен увеличением локального поля в КНН за счет частичной локализации света [25].



3 - Спектры комбинационного рассеяния: образцов КНН серии А (а), серии В (б), серии С (в) и кристаллического кремния и КНН серий А, В, С, полученных при фиксированном времени травления – 15 минут

метал-стимулированного химического травления были получены образцы кремниевых нанонитей при различных концентрациях плавиковой кислоты в травящем растворе, что приводит к росту наноструктур. Исследовано влияние концентрации плавиковой кислоты в травящем растворе на структурные свойства экспериментальных образцов. Установленно, что рост нанонитей в травящем растворе приводит к более интенсивному и менее упорядоченному растворению нанонитей в процессе травления, что приводит к росту скорости травления. При высокой концентрации плавиковой кислоты в травящем растворе начинается растрепливание поверхности КНН, что приводит к менее упорядоченной фазе.

- литературы
- 1. Chen, X. Li, T. I. Kamins, K. Nauka, R. S. Williams Sequence-specific label-free DNA sensors based on silicon nanowires. // Nano Letters – 2004. – Vol. 4. – P. 245-247.
 - 2. M. Lieber Direct ultrasensitive electrical detection of DNA and DNA sequencing variations using nanowire sensors. // Nano Letters – 2004. – Vol. 4. – P. 51-54.
 - 3. M. D. Edelstein, C. A. Richter, E. M. Vogel Enhanced channel modulation in dual-gated silicon nanowire field effect transistors. // Nano Letters – 2005. – Vol. 5. – P. 2519-2523.
 - 4. H. Zhong, D. L. Wang, W. U. Wang, C. M. Lieber High performance silicon nanowire field effect transistors. // Nano Letters – 2003. – Vol. 3. – P. 149-152.
 - 5. X. Duan, Y. Cui, L. J. Lauhon, K. Kim, C. M. Lieber Logic gates and computation from assembled nanowire circuits. // Science – 2001. – Vol. 294. – P. 1313-1317.
 - 6. X. Duan, J. T. Hu, C. M. Lieber Doping and electrical transport in silicon nanowires. // Journal of Physical Chemistry B – 2000. – Vol. 104. – P. 5213-5216.
 - 7. C. M. Lieber A laser ablation method for the synthesis of crystalline semiconductor nanowires. // Science – 2000. – Vol. 289. – P. 208-211.

- 8.Z. P. Huang, H. Fang, J. Zhu Fabrication of silicon nanowire arrays with controlled diameter, length, and density // Materials – 2007. – Vol. 19. – P. 744-748.
- 9.K. Q. Peng, M. L. Zhang, A. J. Lu, N. B. Wong, R. Q. Zhang, S. T. Lee Ordered silicon nanowire arrays via lithography and metal-induced etching. // Applied Physics Letters – 2007. – Vol. 90. – P. 163123.
10. J. D. Holmes, K. P. Johnston, R. C. Doty, B. A. Korgel Control of thickness and orientation of solution-grown nanowires. // Science – 2000. – Vol. 287. – P. 1471-1473.
11. J. B. Hannon, S. Kodambaka, F. M. Ross, R. M. Tromp The influence of the surface migration of gold on the growth of silicon nanowires. // Nature – 2006. – Vol. 440. – P. 69-71.
12. Y. Wang, V. Schmidt, S. Senz, U. Gösele Epitaxial growth of silicon nanowires using an aluminium catalyst // Nanotechnology – 2006. – Vol. 17. – P. 186-189.
13. I. Lombardi, A. I. Hochbaum, P. D. Yang, C. Carraro, R. Maboudian Synthesis of high density, size-controlled silicon nanowire arrays via porous anodic alumina mask. // Chemistry of Materials – 2006. – Vol. 18. – P. 988-991.
14. J. Bauer, F. Fleischer, O. Breitenstein, L. Schubert, P. Werner, U. Gösele, M. Zacharias Electrical properties of undoped silicon nanowires grown by molecular-beam epitaxy. // Applied Physics Letters – 2007. – Vol. 90. – P. 162106.
15. B. Fuhrmann, H. S. Leipner, H. Höche, L. Schubert, P. Werner, U. Gösele Ordered arrays of silicon nanowires produced by nanosphere lithography and molecular-beam epitaxy. // Nano Letters – 2005. – Vol. 5. – P. 2524-2527.
16. H. Pan, S. Lim, C. Poh, H. Sun, X. Wu, Y. Feng, J. Lin Growth of Si nanowires by thermal evaporation. // Nanotechnology – 2005. – Vol. 16. – P. 417.
17. N. Wang, Y. H. Tang, Y. F. Zhang, C. S. Lee, I. Bello, S. T. Lee Nucleation and growth of Si nanowires from silicon dioxide // Physical Review B – 1998. – Vol. 58. – P. 16024.
18. Z. W. Pan, Z. R. Dai, L. Xu, S. T. Lee, Z. L. Wang Temperature-controlled growth of silicon-based nanowires by thermal evaporation of SiO powders. // The Journal of Physical Chemistry B – 2001. – Vol. 105. – P. 2507-2514.
19. Z. Huang, N. Geyer, P. Werner, J. Boor, U. Gösele Metal assisted chemical etching of silicon: a review. // Materials – 2011. – Vol. 23. – P. 285-308.
20. C. Chartier, S. Bastide, C. Lévy-Clément Metal-assisted chemical etching of silicon in HF-H₂O₂. // Electrochimica Acta – 2008. – Vol. 53. – P. 5509-5516.
21. M.L. Zhang, K.Q. Peng, X. Fan, J.S. Jie, R.Q. Zhang, S.T. Lee, N.B. Wong Preparation of large-area uniform silicon nanowires arrays through metal-assisted chemical etching. // Journal of Physical chemistry C – 2008. – Vol. 112. – P. 4450.
22. Y. Qu, L. Liao, Y. Li, H. Zhang, Y. Huang, X. Duan Electrically conductive and optically active porous silicon // Nanoleters – 2009. – Vol. 9. – P. 4539-4543.
23. G. Brönstrup, N. Jahr, C. Leiterer, A. Czák, W. Fritzsche, S. Christiansen Optical properties of individual silicon nanowires for photonic devices. // American Chemical Society – 2010. – Vol. 4. – P. 7113-7122.
24. D. Li, Y. Wu, P. Kim, L. Shi, P. Yang, A. Majumdar Thermal conductivity of silicon nanowires. // Applied Physics Letters – 2003. – Vol. 83. – P. 2934-2936.
25. L.A. Osminkina, K.A. Gonchar, V.S. Marshov, K.V. Bunkov, D.V. Petrov, L.A. Golovan, F. Talkenberg, V.Yu. Timoshenko Optical properties of silicon nanowire arrays formed by metal-assisted chemical etching // Nanoscale Research Letters – 2012. – Vol. 7. – P. 524. light localization effect. // Nanoscale Research Letters – 2012. – Vol. 7. – P. 524.

СОДЕРЖАНИЕ

3.А. Мансуров. Новые углеродные функциональные наноматериалы	3
А. Дробышев, А.Алдияров, А. Нурумкан, Д. Соколов, А. ИК-спектрометрические исследования структурно-фазовых превращений в тонких пленках криовакуумных конденсаторов простейших органических молекул	11
А.И. Купчишин. Разрушения полимерных материалов и композитов электронными пучками	12
З.Ж. Жанабаев, Гревцева Т.Ю., Диханбаев К.К.	18
Электрические свойства нанопористых полупроводников	
И.В.Разумовская, В.Н.Гумирова, Н.П.Ковалец, С.А.Бедин	25
Особенности разрушения трековых мембран и композитов на их основе	
T.A. Koketay, Tussupbekova A.K., Mussanova E.K., Mussabekova A.K.	30
Investigation of the properties of the tcl peak in the temperature range of the phase transition of ammonium-galloid crystals	
T.A. Koketay, Tussupbekova A.K., Baltabekov A.S., Mussanova E.K., Mussabekova A.K.	32
Mechanism of radiation-stimulated emission in the region of the phase transition temperature in ammonium-galloid crystals	
S.E. Кимеков, N.K. Saitova, E.I.Terukov	33
The mechanism of photoluminescence of carboncontaining nanostructured objects	
Абрамкин Д. С., Бакаров А. К. Петрушков М. О., Емельянов Е. А., Путято М. А., Преображенский В. В., Семягин Б. Р., Есин М. Ю., Кожухов А. С., Гутаковский А. К., Шамирзаев Т. С.	34
Новые полупроводниковые низкоразмерные гетероструктуры: формирование, кристаллическое строение и энергетический спектр	
К.О. Базалеева, Ю.А. Пучков, П.А. Цыганков, Н.О. Лебедева,	39
Электрохимическое поведениеnanoструктурированных пленок Ti/Al	
А.К. Шоканов, М.Ф. Верещак, М.К.Кулбеков, И.А. Манакова	45
Исследования золокерамических материалов методом ядерной гамма резонансной спектроскопии	
Н. Х. Ибраев, Р. Х. Джсанабекова, А. Ж. Жумабеков, Е. В. Селиверстова	51
Синтез и свойства nanoструктурированных пленок восстановленного оксида графена	
А.Р. Альмухаметова, Л.А. Габдрахманова, Р.Ф. Альмухаметов, К.М. Мукашев	54
Исследование структурных и фазовых превращений в нанокристаллическом кобальте	
А.К. Кенжегулов, А.А. Мамаева, А.В.	59
Трибологическое поведение кальций-fosфатных покрытий осажденных на титане магнетронным распылением	
А.М. Жукешов, А.Т. Габдуллина, М. Мухамедрысызы, З. Мажит,	61
Д. Камалова, Н.Т. Балманова	
Температурно-фазовые изменения в структуре сталей при воздействии импульсных потоков плазмы	
А. И. Купчишин, Б. Г. Таипова, Н. А. Воронова, А.М. Суцих	64
Исследование зависимости деформации от дозы электронного облучения полимерных материалов	
А. И. Купчишин, М. Н. Нязов, А.Т. Абдухаирова, Б.А.Тронин	66
Моделирование на ЭВМ пространственных распределений дефектов в материалах	
А. И. Купчишин, М.Н. Нязов, Б.Г. Таипова, Н.Н. Ходарина	70
Установка для исследования свойств донных отложений водоемов оптическим методом	
Е.А. Грушевская, Е.А. Дмитриева, С.А. Ибраимова, И.А. Лебедев, К.А. Мить, Д.М. Мухамедшина, А.И. Федосимова	73
Модификация плазменным воздействием физических характеристик тонких пленок, полученных из растворов тетрахлорида олова	
Е.А. Дмитриева, И.А. Лебедев, А.И. Федосимова, Е.А. Грушевская, Д.М. Мухамедшина, К.А. Мить	79
Структура поверхности тонких пленок SnO ₂ синтезированных золь-гель методом	
Ж.Ж. Бекишев, Б.Е. Алимбек, Е.А.Сыргабек	84
Возможности вовлечения отходов переработки пшеничного зерна в технологический цикл получения некоторых редких металлов	

<i>Каймульдинова Э.С.</i> Численное исследование теплоэнергетических систем с применением метода компьютерного моделирования	84
<i>Б.Б. Камал, О.Е. Кайполдаев, Г.А. Байгаринова, Е.С. Мухаметкаримов</i> Получение пленок карбида титана на подложках монокристаллического кремния методом магнетронного распыления	91
<i>А. Кутлымратов, Т.М. Салиев, А.С. Сайдов, У.Х. Рахмонов</i> Причины выхода из строя карбидокремниевых нагревателей и возможность их восстановления	94
<i>Мархабаева А.А.</i> Синтез и исследование свойств материалов на основе оксидов цинка и вольфрама	96
<i>У.Х. Рахмонов.</i> Зонная энергетическая диаграмма и электролюминесценция гетероструктуры $n\text{GaP} - n^+(\text{ZnSe})_{1-x-y}(\text{Si}_2)_y(\text{GaP})_x$	97
<i>И.Б. Санаев, Б. Санаев, М.М. Баев, М.А. Махмудов, М.Б. Санаева</i> Гетеропереход между теллуридом кадмием и кремнием	102
<i>G.T. Smagulova, B.B. Kaidar, M.T. Artykbayeva, Z.A. Mansurov</i> Complex recycling of waste of coal industry	106
<i>З.М. Бияшева, В.В. Дьячков, Ю.А. Зарипова, А.Л. Шакиров, А.В. Юшков</i> Модель бинокулярного микроскопа с тремя ступенями увеличения	109
<i>К.А. Таусаров, Ксенбаев А.</i> Аморфты кремнийдің электрлік және оптикалық қасиеттері	113
<i>В.В. Дьячков, А.Е. Рахман, Ю.А. Зарипова, А.В. Юшков, А.Л. Шакиров, М.Т. Бигельдиева, К.С. Дюсебаева, К.Е. Абрамов</i> Изучение фрактальных свойств в топологии распределения бета-загрязненности региона алматинской области	115
<i>М.А. Тулеғенова, Т.Қ. Құанышбеков, Н.Р. Гүсейнов, А.М. Ильин</i> Антакоррозионные защитные покрытия на основе малослойных графеновыхnanoструктур	120
<i>М.Н. Султангазин, Н.Е. Аханова, М.Т. Габдуллин, Д.В. Исмаилов</i> Дуговой синтез углеродных наноструктур в жидкой фазе	126
<i>М.М. Мырзабекова, Н.Р. Гүсейнов, Р.Р. Немкаева, М.Т. Габдуллин</i> Влияние электронного облучения на свойства оксида графена	131
<i>Д. Ермухамед, Г.К. Мусабек, Г.Т. Шокобаева, Г.А. Амирханова, В.А. Сиваков</i> Получение кремниевых нанонитей методом металл-стимулированного химического травления при различной концентрации плавиковой кислоты	136
<i>К.К. Диханбаев, Г.К. Мусабек, Е. Шабдан, Т.Т. Таурбаев, Ш.Б. Байганатова</i> Влияние лазерного возбуждения на E_g пористого кремния	141
<i>Г.А. Исмайлова, Л.В. Михайлов, С.Л. Михайлова, Р.Б. Абиль</i> Структура и оптические свойства имплантированных слоев и систем «нанокристаллы в Si» и «нанокристаллы в SiO_2 ».	146
<i>Т.М. Гладких, М.Е. Бидайбекова, В.В. Дьячков, Ю.А. Зарипова, А.Л. Шакиров.</i> Эффект «здравый-больной» в организменной топологии радиоактивных наноточек	147
<i>Н.Б. Есболов, Н.В. Терюкалова, Г.Т. Смагулова</i> Синтез углеродных нанотрубок методом cvd в реакторе с псевдокипящим слоем катализатора	151
<i>Ш.Т. Нұрболат, Ж.К. Калкозова, Х.А. Абдуллин</i> Органикалық ерітінділердің фотодырыруа процестерінде нанокұрылымдалған оксидті жартылай өткізгіштерді қолдану	152
<i>Смагулова Г.Т., Есболов Н.Б., Терюкалова Н.В., Приходько Н.Г.</i> Получение углеродных нанотрубок в реакторе с псевдокипящим слоем катализатора	156
<i>К.К. Хамитова, Д.С. Керимбеков, Д.В. Исмаилов, М.Т. Габдуллин, Д.В. Щур.</i> Анализ токсичного воздействия фуллереновой сажи на проростки семян растений	159
<i>Н. Е. Аханова.</i> Синтез фуллеренов C_{60} и C_{70} электродуговым методом с высоким выходом	163
<i>А.В. Мостовицков, А.П. Ильин, Д.В. Исмаилов</i> Установка для измерения электропроводности нанопорошка меди при нагревании	166
<i>А.А. Азаткалиев, Д.В. Исмаилов, Х.А. Абдуллин</i> Синтез нанопорошков металлического вольфрама	170